

УДК 541.16

ВЛИЯНИЕ РАДИАЦИОННЫХ ДЕФЕКТОВ НА ЭЛЕКТРОННУЮ СТРУКТУРУ ЦИРКОНА ПО ДАННЫМ РЕНГЕНОВСКОЙ ФОТОЭЛЕКТРОННОЙ СПЕКТРОСКОПИИ

© 2010 Ю.В. Щапова¹, С.Л. Вотяков¹, М.В. Кузнецов^{2*}, А.Л. Ивановский²

¹Институт геологии и геохимии им. А.Н. Заварниukого УрО РАН, Екатеринбург

²Институт химии твердого тела УрО РАН, Екатеринбург

Статья поступила 11 августа 2009 г.

Методом рентгеновской фотоэлектронной спектроскопии (РФЭС) изучена электронная структура радиационно-поврежденных образцов минерала циркона $ZrSiO_4$ на ранних и средних этапах его радиационной деструкции. Установлено, что эффекты радиационно-стимулированного атомного разупорядочения наиболее заметно проявляются в спектрах O1s состояний и, в меньшей степени, в спектрах Si2p состояний, а также в валентной полосе циркона. С привлечением результатов модельных расчетов сделан вывод, что наблюдаемые изменения линий РФЭС связаны с формированием кислородновакансационных дефектов и увеличением ковалентности межатомных связей вблизи кислородных вакансий. Для образцов циркона низкой/средней степени радиационного повреждения эти изменения отражают начальный этап полимеризации структуры $ZrSiO_4$ за счет образования цепочек фрагментов Si—O—Si.

Ключевые слова: минерал циркон, радиационные дефекты, электронное строение, РФЭС.

ВВЕДЕНИЕ

В последнее время радиационное разупорядочение (так называемая радиационная метамиктизация) структуры циркона ($ZrSiO_4$) при α -распаде радиоактивных примесей U, Th в природных образцах и Ru в синтетических керамиках, предлагаемых в качестве сред для утилизации радиоактивных отходов, привлекает заметное внимание исследователей. Это важно как для корректного учета степени замкнутости U, Th/Pb подсистемы в геохронологических построениях, так и прогнозов долговременной стабильности цирконовых вейст-форм с высокоактивными радионуклидами.

Согласно существующим представлениям [1, 2], радиационная деструкция циркона обусловлена двумя основными процессами: 1) формированием каскадов атомных смещений за счет пробегов дочерних ядер отдачи с энергией порядка 70 кэВ с длиной пробега ~30–40 нм, возникающих в процессах α -распада радиоактивных элементов ($^{238}U \rightarrow ^{206}Pb$, $^{235}U \rightarrow ^{207}Pb$ и $^{232}Th \rightarrow ^{208}Pb$); и 2) образованием точечных дефектов по ударному механизму α -частицами с энергией порядка 5 МэВ и с длиной пробега ~10–20 мкм. Тяжелые ядра отдачи ответственны за формирование локализованных аморфных областей малого диаметра с резко отличной от кристаллического циркона структурой; α -частицы — за формирование областей мало взаимодействующих между собой точечных дефектов при сохранении основных особенностей кристаллической структуры $ZrSiO_4$; при этом основным типом дефектов являются дефекты по Френкелю (пары вакансия — внедренный атом) или, в случае диффузии внедренных атомов на поверхность кристалла, дефекты по Шоттки — вакансии атомов O (преимущественно), Zr и Si.

* E-mail: kuznetsov@ihim.uran.ru; ivanovskii@ihim.uran.ru

Можно ожидать, что на начальных этапах радиационного повреждения, когда доля аморфной фракции низка, а также для неоднородных по содержанию радиоактивных примесей природных кристаллов циркона (а именно, для областей с низкой концентрацией примесей, граничащих с высокопримесными областями), ключевую роль в радиационной деструкции играют α -частицы.

Цель настоящей работы — изучение методом рентгеновской фотоэлектронной спектроскопии (РФЭС) влияния атомного разупорядочения на ранних и средних этапах радиационной деструкции минерала циркона на особенности его электронной структуры.

ЭКСПЕРИМЕНТАЛЬНАЯ ЧАСТЬ

Исследованы образцы природного циркона, различающиеся степенью структурного совершенства: Z1 — макроскопические монокристаллы из кимберлитовой трубы Мир (Якутия); Z2 — микрокристаллы из гранитоидов Бердяушского массива; Z3 — микрокристаллы из гранулитов Соколовского массива (Урал). Их характеристики представлены в табл. 1. Степень структурного разупорядочения и эффективную дозу (D) самооблучения образцов оценивали сопоставлением данных рентгеновской дифракции и рамановской спектроскопии с известными соотношениями между постоянными решетки, рамановским сдвигом и шириной пика антисимметричных валентных колебаний SiO_4 и эффективной поглощенной дозой [3, 4]. Оценки дают для образца Z1 величину $D < 0,5 \cdot 10^{18}$ α -распадов/г, для образцов Z2 и Z3 — $D \sim (1—2) \cdot 10^{18}$ α -распадов/г. Таким образом, образец Z1 является высококристаллическим цирконом (возможно, содержащим точечные дефекты структуры), а образцы Z2 и Z3 — цирконы с низкой/средней степенью радиационного повреждения, для которых, согласно оценкам по соотношению [3], доля аморфной фракции не превышает 10—15 %.

Поскольку метод РФЭС анализирует тонкий (≤ 5 нм) поверхностный слой образцов [5], то особое значение для решения вопроса о правомерности распространения результатов и выводов, полученных для поверхностных слоев на объем кристалла, имеет качество подготовки поверхности. Для образца Z1 анализировали полированную поверхность, которую непосредственно перед измерением обрабатывали алмазным надфилем на воздухе или алмазным скребком

Таблица 1

Характеристики степени радиационного повреждения образцов циркона: постоянные решетки a , c (по данным рентгеновской дифракции) и рассчитанное по ним радиационное расширение объема ΔV^{**} ; рамановский сдвиг v и ширина пика Δv антисимметричных валентных колебаний тетраэдра SiO_4 (по данным рамановской спектроскопии***); оценочные значения эффективных доз D α -облучения*

Образец	Постоянная решетка		ΔV , %	Параметры Рамановских спектров		D , α -част./г
	a , Å	c , Å		v , см^{-1}	Δv , см^{-1}	
Z1	6,6000 ($\pm 0,0005$)	5,974 ($\pm 0,001$)	0,2	1009,6	5,4	$< 0,5 \cdot 10^{18}$
Z2	6,618 ($\pm 0,003$)	6,009 ($\pm 0,005$)	1,3	998,9	13,9	$\sim (1—2) \cdot 10^{18}$
Z3	6,614 ($\pm 0,004$)	6,02 ($\pm 0,01$)	1,2			

* Измерения выполнены О.Л. Галаховой на рентгеновском дифрактометре ДРОН-3; постоянные решетки определены по семи рефлексам ((321), (312), (400), (411), (420), (332), (204)) в области углов $2\theta = 50—70^\circ$;

** Радиационное расширение оценивали относительно высококристаллического циркона лимбургитов (г. Благодать) с постоянными решетки $a = 6,5952$ и $c = 5,972$ Å.

*** Измерения выполнены в Институте высокотемпературной электрохимии УрО РАН Э.Г. Вовкотруб на рамановском микрозонде Renishaw inVia Reflex с возбуждением He-Ne лазером (633 нм) и диаметром лазерного пятна 1 мкм.

в вакуумной камере спектрометра (различий в спектрах поверхностей, обработанных этими двумя способами, не обнаружено). Для образцов микрокристаллов Z2 и Z3 исследовали порошковые пробы, впрессованные в подложку из металлического индия.

Исследования РФЭС выполнены на спектрометре ESCALAB MK-II; для возбуждения использовали линию $\text{AlK}_{\alpha_{1,2}}$ ($E = 1486,6$ эВ); калибровку энергий связи проводили по линии $\text{Au}4f_{7/2}$ (84,0 эВ); погрешность измерения энергии связи составляла 0,1 эВ; спектральное разрешение ~0,8—0,9 эВ. Поправку на зарядку образца вводили по энергии 1s-линии углерода (284,5 эВ).

РЕЗУЛЬТАТЫ И ИХ ОБСУЖДЕНИЕ

Обзорный РФЭ спектр циркона приведен на рис. 1. Электроны оставных уровней формируют интенсивные пики: O1s — в области 530—540 эВ; Zr3p_{3/2,3p1/2} — в области 335—355 эВ; Zr3d_{5/2,3d3/2} — в области 170—195 эВ; Si2s в области 155—165 эВ и Si2p_{3/2,2p1/2} (неразрешенная структура) — в области 95—110 эВ. Кроме того, на этом рисунке виден спектр C1s поверхностного углерода (285—290 эВ).

Характеристики оставных уровней исследованных образцов приведены в табл. 2. Видно, что при переходе от высококристаллического образца (Z1) к образцам средней степени радиационного повреждения (Z2, Z3) положение максимума линии O1s сдвигается в область высоких энергий на ~0,4 эВ, а ее ширина увеличивается на ~0,8 эВ. Аналогичный, но менее выраженный эффект (сдвиг на 0,1—0,4 эВ и уширение на ~0,5 эВ) наблюдается для линии Si2p. Напротив, энергия и ширина пика Zr3d оказываются практически нечувствительными к разупорядочению образцов.

Известно, что энергия уровня O1s в оксидах зависит от заряда кислорода и степени ковалентности связи кислорода с катионами ближайшего окружения [5]. В этой связи детально анализировали форму и положение линии O1s при изменении степени разупорядочения образцов. Из рис. 2 видно, что полоса O1s в исследованных образцах циркона может быть представлена в виде суперпозиции двух компонент, соответствующих двум типам неэквивалентных атомов кислорода O₁ и O₂ с энергиями связи 531,0 и 532,3 эВ (для аппроксимации спектра использовали индивидуальные компоненты в форме Фойгта).

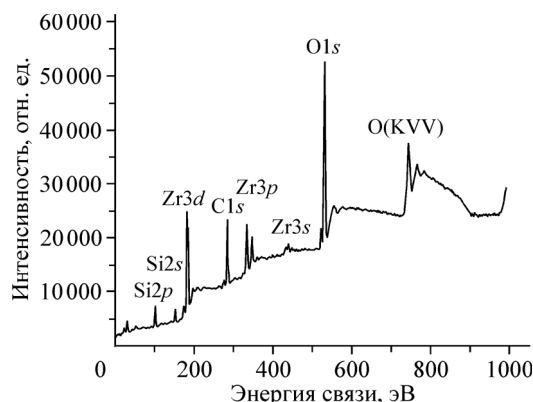


Рис. 1 (слева). Обзорный РФЭ спектр циркона

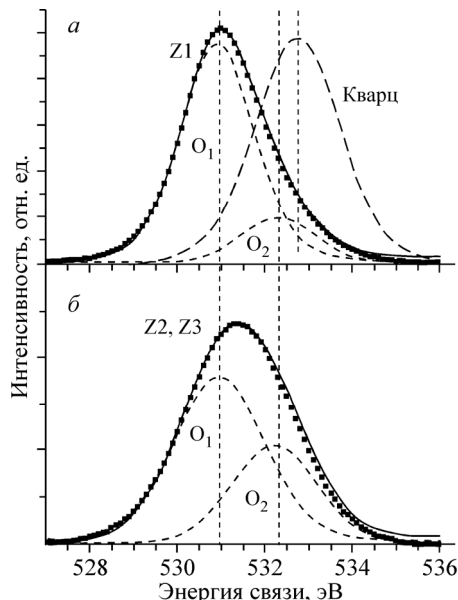


Рис. 2 (справа). Спектры O1s высококристаллического (Z1) и радиационно-разупорядоченных образцов (Z2, Z3) циркона и их разложение на индивидуальные компоненты O₁ и O₂ формы Фойгта. Приведен также спектр O1s кварца согласно [8]

Таблица 2

Положения максимумов и ширины полос остовных уровней кислорода, кремния и циркония в образцах циркона с различной степенью радиационного повреждения (Z1—Z3), а также в синтетических цирконе $ZrSiO_4$, кварце SiO_2 и бадделеите ZrO_2 по данным [8]

Образец	Энергия связи / ширина полос, эВ			Образец	Энергия связи / ширина полос, эВ		
	O1s	Si2p	Zr3d		O1s	Si2p	Zr3d
Z1*	530,1 / 2,1	101,5 / 1,8	182,7 / 1,8	$ZrSiO_4$	531,3 / 2,3	101,8 / 2,0	183,0 / 1,8
Z2	531,4 / 2,9	101,9 / 2,3	182,8 / 2,0	SiO_2	532,7 / 2,0	103,2 / 2,0	—
Z3	531,4 / 2,8	101,6 / 2,4	182,4 / 1,9	ZrO_2	530,0 / 1,4	—	181,9 / 1,4

* Z1—Z3 — образцы циркона с различной степенью радиационного повреждения, см. табл. 1.

Энергия уровня O_{1s} близка к энергии 1s-линии кислорода в синтетическом цирконе и может быть приписана регулярным атомам трехкоординированного кислорода $-Si-O-\overset{\text{Zr}}{\underset{\text{Zr}}{|}}-$ в кристаллической структуре $ZrSiO_4$. Уровень O_{2s} сдвинут в сторону больших энергий и близок к энергии уровня O_{1s} в кварце. Относительная концентрация атомов O₂ в высококристаллическом образце Z1 составляет O₂/O₁ = 0,2; в радиационно-поврежденных образцах Z2 и Z3 относительная концентрация атомов O₂ существенно увеличивается (O₂/O₁ = 0,6).

Для ответа на вопрос о природе атомов O₂ использованы результаты наших квантово-химических расчетов эффективных зарядов атомов кислорода в идеальном кристаллическом цирконе [6] и в цирконе, содержащем типичные радиационные точечные дефекты [7] — вакансии и дивакансии атомов кислорода (соответственно, группировки SiO_3^{2-} и SiO_2^0). На рис. 3

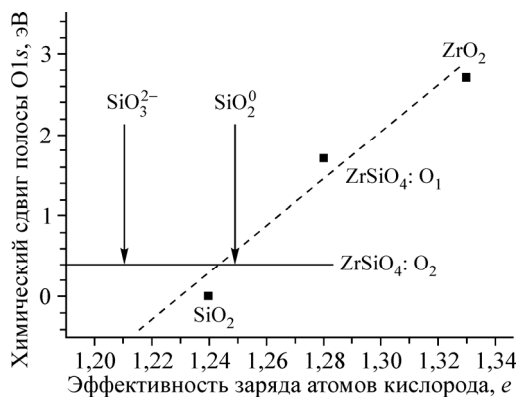


Рис. 3. Сопоставление химического сдвига уровней O_{1s} в цирконе, кварце и бадделеите по данным РФЭС (для кварца и бадделеита — согласно [8]) с эффективными зарядами атомов кислородных атомов по данным квантово-химических расчетов [6]. Химический сдвиг O_{1s} в кварце принят равным нулю.

Сплошная линия — химический сдвиг O_{2s} в цирконе; стрелки — вычисленные значения эффективных зарядов атомов кислорода вблизи вакансационных дефектов в цирконе [7]

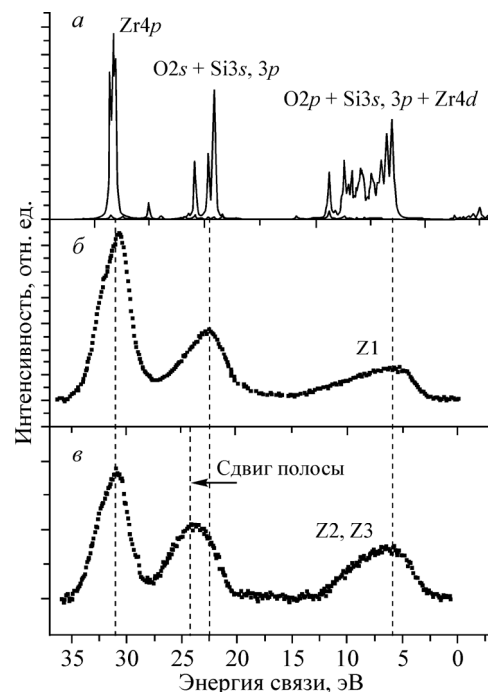


Рис. 4. Расчетный [6] (a) и экспериментальные (б, в) РФЭ спектры валентной полосы высококристаллического (a, б) и радиационно-разупорядоченного (в) циркона

приведено сопоставление экспериментальных значений химического сдвига уровней O_{1s} в цирконе, кварце и бадделеите по данным РФЭС (для кварца и бадделеита — по данным [8]) с расчетанными в [6, 7] эффективными зарядами кислородных атомов в указанных бездефектных кристаллах, а также в цирконе, содержащем кислородно-вакансационные дефекты. В последнем случае приведены усредненные величины эффективных зарядов атомов кислорода дефектных группировок SiO₃²⁻ и SiO₂⁰. На основе данных для кристаллических циркона, кварца и бадделеита получена линейная зависимость "эффективный заряд—химический сдвиг". Атомы кислорода в дефектных областях SiO₃²⁻ и SiO₂⁰ характеризуются более ковалентным типом химического связывания с атомами кремния и более низкими эффективными зарядами, чем атомы кислорода регулярных тетраэдров SiO₄⁴⁻; значения их эффективных зарядов (показаны стрелками на рис. 3) близки по величине к заряду атомов кислорода в кварце. Можно полагать, что при высоких концентрациях вакансационных дефектов атомы кислорода указанного типа могут быть выявлены методом РФЭС в виде отдельной высокоэнергетической компоненты (компоненты с малым химическим сдвигом относительно кварца).

На основании сказанного наблюдаемая методом РФЭС полоса O₂1s с энергией 532,30 эВ отнесена нами к атомам кислорода дефектных группировок SiO₃²⁻ и SiO₂⁰; причем увеличение концентрации указанной полосы с ростом степени радиационного повреждения циркона хорошо согласуется с этой интерпретацией.

Отметим, что в работе [7] выявлена существенная релаксация структуры циркона при образовании точечных дефектов SiO₃²⁻ и SiO₂⁰. В частности, показано, что имеет место сдвиг близлежащих тетраэдров SiO₄ по направлению к дефектным тетраэдрам, что сопровождается формированием связей Si—O—Si, отсутствующих в исходной структуре ZrSiO₄; формирование кислородно-вакансационных дефектов можно рассматривать в качестве начальной стадии полимеризации кремний-кислородных тетраэдров, которая хорошо известна для цирконов с высокой степенью радиационной деструкции [9, 10]. В результате, появление полосы O₂1s в образцах с низкой/средней степенью радиационного повреждения можно отнести за счет образования цепочечных фрагментов Si—O—Si на начальной стадии полимеризации кремний-кислородной подрешетки циркона.

Непосредственная информация об особенностях химической связи в исследуемых образцах может быть получена при анализе их валентной полосы. На рис. 4 приведены расчетные [6] и экспериментальные РФЭС линии валентных состояний циркона с различной степенью атомного разупорядочения. Их сопоставление для высококристаллического циркона (Z1) показывает хорошее воспроизведение в расчетах основных особенностей валентной полосы ZrSiO₄, подтверждая корректность расчетов [6, 7], а также позволяет интерпретировать основные полосы экспериментальных спектров. Видно, что верхняя часть валентной полосы образована 2s,2p-состояниями атомов кислорода с примесью Si3s,3p- и Zr4d-состояний. Ширина O2s- и O2p-полос составляет 1,8 и 6,0 эВ соответственно, общая ширина полосы кислородных состояний $\Delta E = 18,1$ эВ. Состояния Zr4p образуют узкие пики в глубине валентной зоны, их энергия на 6,5 эВ больше энергии максимума полосы O2s.

Основное отличие спектров валентных состояний радиационно-разупорядоченных образцов (Z2 и Z3) состоит в сдвиге полосы O2s вглубь валентной зоны на величину ~2 эВ. Этот экспериментальный результат хорошо соответствует расчетным данным, предсказывающим увеличение ширины полос O2s,2p за счет роста ковалентности химического связывания в дефектных областях циркона [7], а также в высокополимеризованной (каркасной) структуре кварца [11]. Отметим, что аналогичная закономерность — уширение энергетических зон кислородных состояний при переходе от структур с трехкоординированным кислородом к структуре с двухкоординированным (мостиковым) кислородом — наблюдалась нами ранее и в стеклообразных фосфатах [12].

Таким образом, изменение электронной структуры и характеристик химического связывания в радиационно-поврежденных образцах может быть обнаружено в РФЭ спектрах валентной полосы циркона по уширению полосы его кислородных состояний.

ЗАКЛЮЧЕНИЕ

Методом рентгеновской фотоэлектронной спектроскопии изучена электронная структура радиационно-поврежденных образцов минерала циркона с низкой/средней степенью радиационной деструкции. Установлено, что эффекты радиационно-стимулированного атомного разупорядочения наиболее заметно проявляются в спектрах остоянных O_{1s}-состояний и, в меньшей степени, в спектрах остоянных Si_{2p}-состояний, а также в валентной полосе циркона. С привлечением результатов модельных расчетов сделан вывод, что изменения спектральных характеристик связаны с формированием кислородно-вакансационных дефектов и увеличением степени ковалентности химической связи в дефектных областях (вблизи кислородных вакансий) поврежденной структуры ZrSiO₄. Для образцов циркона с низкой/средней степенью радиационного повреждения эти изменения отражают начальный этап полимеризации структуры за счет образования цепочек фрагментов Si—O—Si.

Авторы признательны А.А. Краснобаеву за предоставленные образцы цирконов.

Работа поддержана программой Президиума РАН № 14 "Научные основы рационального природопользования" и № 20 "Создание и совершенствование методов химического анализа", а также междисциплинарной интеграционной программой УрО РАН "Состав, структура и физика радиационно-термических эффектов в фосфатных и силикатных минералах и стеклах как основа для геохронологических построений и создания материалов для утилизации высокоактивных долгоживущих радионуклидов" и Российской фондом фундаментальных исследований, проекты № 07-05-00097а и 09-05-00513а.

СПИСОК ЛИТЕРАТУРЫ

1. Weber W.J. // Nuclear Instruments Methods Phys. Res. Sec. B. – 2000. – **166-167**. – P. 98 – 106.
2. Ewing R.C., Meldrum A., Wang L. et al. // In: Zircon. Reviews in Mineralogy and Geochemistry / Eds. J.M. Hanchar, P.W.O. Hoskin. – 2003. – **53**. – P. 387 – 425.
3. Rios S., Salje E.K.H., Zhang M., Ewing R.C. // J. Phys.: Condens. Matter. – 2000. – **12**. – P. 2401 – 2412.
4. Palenik C.S., Nasdala L., Ewing R.C. // Amer. Mineral. – 2003. – **88**. – P. 770 – 781.
5. Зигбан К., Нордлинг К., Фальман А. и др. Электронная спектроскопия. – М.: Мир, 1971.
6. Щапова Ю.В., Вотяков С.Л. // Геология Урала и сопредельных территорий. Сб. науч. тр. – Екатеринбург: Изд-во УрО РАН, 2007. – С. 285 – 309.
7. Щапова Ю.В., Замятин Д.А., Вотяков С.Л. // В сб.: Материалы международного семинара "Структура и разнообразие минерального мира". – Сыктывкар, 2008. – С. 51 – 53.
8. Guittet M.J., Crocombe J.P., Gautier-Soyer M. // Phys. Rev. – 2001. – **B63**, N 12. – art. 125117.
9. Farnan I. // Phase Transit. – 1999. – **69**. – P. 47 – 60.
10. Farnan I., Salje E.K.H. // J. Appl. Phys. – 2001. – **89**. – P. 2084 – 2090.
11. Щапова Ю.В., Вотяков С.Л., Ивановский А.Л. // Ежегодник ИГГ УрО РАН, 2003. – Екатеринбург: Изд-во УрО РАН, 2004. – С. 296 – 406.
12. Зацепин А.Ф., Кортов В.С., Щапова Ю.В. // ФТТ. – 1997. – **39**. – С. 1366 – 1372.